

OPTIMÁLNÍ NÁVRH MĚŘENÍ SIGMOIDÁLNÍCH FUNKCÍ

P. Tuček^{1,2}, M. Tučková² a R. Harman³

¹Regionální centrum pokročilých technologií a materiálů
Univerzita Palackého v Olomouci

²Katedra geoinformatiky
Univerzita Palackého v Olomouci

³Katedra aplikovanej matematiky a štatistiky
Univerzita Komenského, Bratislava

Robust 2012
9. – 14. září 2012, Němčičky

Obsah prezentace

1 Úvod

2 Nelineární regresní model měření magnetizace

3 Lokálně D-optimální návrh měření

4 Maximin eficientní návrh měření

5 Závěr

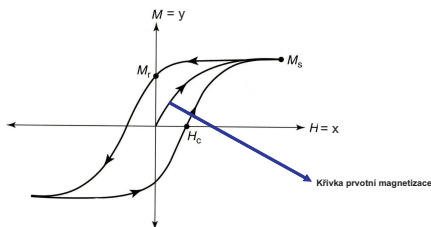
Motivace

- Nanomateriály jsou 1,2,3 - dimenzionálně vymezené prostorové útvary, vyplněné nebo obklopené hmotou, mající unikátní vlastnosti takové, které se nevyskytují u jejich makroskopických protějšků.
- Vznik těchto specifických mechanických, elektrických, optických a magnetických vlastností je spojen se zmenšováním rozměru magnetického materiálu pod hranici 100nm .
- Z důvodu velkého aplikačního potenciálu je analýza magnetických vlastností nanomateriálů jedním z hlavních cílů výzkumu RCPTM.
- Magnetické jevy nanomateriálů jsou řízeny dvěma faktory:
 - 1 kvantově-mechanické jevy → spojené s konečným rozměrem částic,
 - 2 povrchové jevy → fenomén rostoucího počtu atomů v povrchových vrstvách spojený s klesajícím rozměrem magnetické částice.

Fyzikální podklady

Magnetizace se měří pomocí magnetometrů dvěma způsoby:

- při různé teplotě, ale s konstantním vnějším magnetickým polem
→ tzv. teplotní závislost magnetizace
- při konstantní teplotě, ale s měnící se intenzitou vnějšího magnetického pole → tzv. polní závislost magnetizace → **hysterézní smyčka**



M_s - saturační magnetizace
 M_r - remanentní magnetizace
 H_c - koercitivní síla

Obr. 1: Hysterézní smyčka

Proces měření



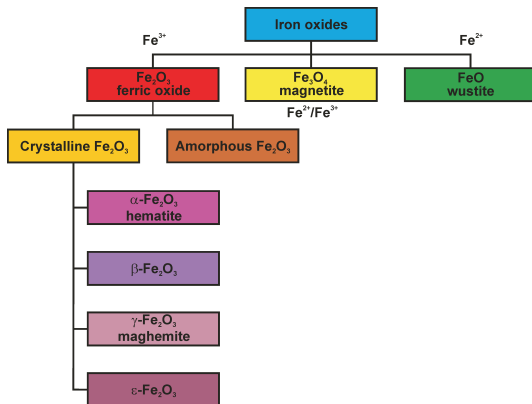
Měřený nanomateriál je vystaven vnějšímu magnetickému poli (VMP), kde na něj působí generující cívky elektromagnetu. Snímací cívky potom snímají magnetizaci nanomateriálu v příslušných bodech VMP.

Obr. 2: Magnetometr

- vzorek je nejprve zatížen maximální kladnou hodnotou VMP, která se postupně snižuje až je dosaženo maximální záporné hodnoty VMP → **horní větev hysterézní smyčky**
- poté obdobným způsobem avšak postupem od maximální záporné hodnoty VMP k maximální kladné hodnotě VMP → **dolní větev hysterézní smyčky**

Fyzikální podklady

Jedna z výzkumných skupin RCPTM pracuje s nanočásticemi oxidů železa, resp. s nanočásticemi na bázi oxidu železitého. Oxid železitý existuje ve 4 strukturních modifikacích:

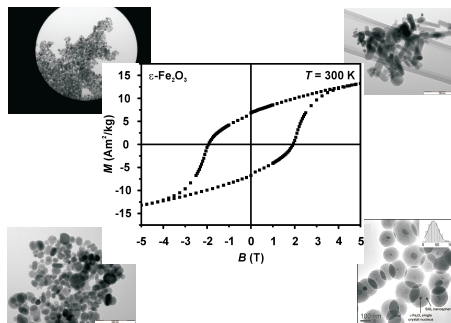


Obr. 3: Strukturní modifikace oxidu železitého.

Fyzikální podklady

Nyní se zabýváme analýzou nanočástic $\epsilon - \text{Fe}_2\text{O}_3$ označovaných jako nanomateriály nové generace záznamových médií.

Hysterézní smyčka těchto vzorků nanočástic má symetrickou horní a dolní větev → dále pracujeme pouze s horní větví smyčky.



Obr. 4: Epsilon fáze oxidu železitého.

Popis modelu

K aproximaci hysterézních smyček se užívají dvě nelineární funkce:

Langevinova funkce - horní větev smyčky

$$L(\mathbf{x}, \boldsymbol{\theta}) = \theta_1 \cdot \coth \left[\frac{\theta_2 \cdot (\mathbf{x} + \theta_3)}{k_B \cdot T} \right] - \theta_1 \cdot \frac{k_B \cdot T}{\theta_2 \cdot (\mathbf{x} + \theta_3)},$$

kde:

- $L(\mathbf{x}, \boldsymbol{\theta})$... magnetizace,
- $\mathbf{x} = \{x_1, \dots, x_n\}$... množina experimentálních bodů,
- $\boldsymbol{\theta} = (\theta_1, \theta_2, \theta_3)$... vektor neznámých parametrů,
- $k_B = 1,38 \cdot 10^{-23} J/K$... známá fyzikální konstanta,
- $T = 300 K$... známá fyzikální konstanta.

Popis modelu

Brillouinova funkce - horní větev smyčky

$$B(\mathbf{x}, \theta) = \theta_1 \cdot \frac{2J+1}{2J} \cdot \coth \left[\frac{2J+1}{2J} \cdot \frac{g_J \cdot \theta_2 \cdot J}{k_B \cdot T} (\mathbf{x} + \theta_3) \right] - \theta_1 \cdot \frac{1}{2J} \cdot \coth \left[\frac{1}{2J} \cdot \frac{g_J \cdot \theta_2 \cdot J}{k_b \cdot T} (\mathbf{x} + \theta_3) \right],$$

kde:

- $B(\mathbf{x}, \theta)$... magnetizace,
- $\mathbf{x} = \{x_1, \dots, x_n\}$... množina experimentálních bodů,
- $\theta = (\theta_1, \theta_2, \theta_3)$... vektor neznámých parametrů,
- $k_B = 1,38 \cdot 10^{-23} \text{ J/K}$... známá fyzikální konstanta,
- g_J ... známá fyzikální konstanta,
- $J = 5/2$... známá fyzikální konstanta,
- $T = 300K$... známá fyzikální konstanta.

Hlavní cíle:

- ➊ Navrhnut optimální návrh měření za účelem získání co nejpřesnějších odhadů hodnot neznámých parametrů $\theta_1, \theta_2, \theta_3$, které jednoznačně charakterizují konkrétní vzorek nanomateriálu a rozhodují o jeho následné aplikaci v praxi.

Hlavní cíle:

- ① Navrhnut optimální návrh měření za účelem získání co nejpřesnějších odhadů hodnot neznámých parametrů $\theta_1, \theta_2, \theta_3$, které jednoznačně charakterizují konkrétní vzorek nanomateriálu a rozhodují o jeho následné aplikaci v praxi.
- ② Navrhnut optimální návrh měření tak aby bylo možné jednoznačně rozhodnout, kterou funkci (Langevinovu nebo Brillouinovu) použít k aproximaci naměřených dat - naměřené magnetizace.

Hlavní cíle:

- ① Navrhnut optimální návrh měření za účelem získání co nejpřesnějších odhadů hodnot neznámých parametrů $\theta_1, \theta_2, \theta_3$, které jednoznačně charakterizují konkrétní vzorek nanomateriálu a rozhodují o jeho následné aplikaci v praxi.
- ② Navrhnut optimální návrh měření tak aby bylo možné jednoznačně rozhodnout, kterou funkci (Langevinovu nebo Brillouinovu) použít k aproximaci naměřených dat - naměřené magnetizace.
- ③ Odhadnout obsah plochy, která vzniká mezi horní a dolní smyčkou.

Sigmoidální funkce

Z praktických důvodů zavádíme univerzální model

$$\phi(\mathbf{x}, \boldsymbol{\theta}) = \theta_1 \cdot h(\mathbf{z}) = \theta_1 \cdot h[\theta_2 \cdot (\mathbf{x} + \theta_3)],$$

kde pro Langevinovu funkci má sigmoidální funkce $h(\mathbf{z})$ tvar

$$h(\mathbf{z}) = \coth \left[\frac{\mathbf{z}}{k_B \cdot T} \right] - \frac{k_B \cdot T}{\mathbf{z}}$$

a pro Brillouinovu funkci je sigmoidální funkce $h(\mathbf{z})$ tvaru

$$h(\mathbf{z}) = \frac{2J+1}{2J} \cdot \coth \left[\frac{(2J+1) \cdot g_J \cdot J \cdot \mathbf{z}}{2J \cdot k_B \cdot T} \right] - \frac{1}{2J} \cdot \coth \left[\frac{g_J \cdot J \cdot \mathbf{z}}{2J \cdot k_B \cdot T} \right].$$

Linearizace modelu

Máme tedy nelineární regresní model měření magnetizace:

$$\mathbf{Y} = \phi(\mathbf{x}, \boldsymbol{\theta}) + \boldsymbol{\epsilon},$$

kde

$\boldsymbol{\theta} = (\theta_1, \theta_2, \theta_3)^T \in \Theta$... vektor neznámých parametrů,

$\Theta = (\Theta_1 \times \Theta_2 \times \Theta_3)$... množina "možných" hodnot parametrů,

$\boldsymbol{\epsilon}$... vektor chyb měření: $E(\boldsymbol{\epsilon}) = 0$, $\text{Var}(\boldsymbol{\epsilon}) = \sigma^2 \cdot \mathbf{I}$.

Užitím Taylorova rozvoje se zanedbáním členů 2. a vyšších řádů:

$$\mathbf{Y} \sim \phi(\mathbf{x}, \boldsymbol{\theta}^0) + \underbrace{\frac{\partial \phi(\mathbf{x}, \boldsymbol{\theta})}{\partial \boldsymbol{\theta}^T}}_{\mathbf{F}} \cdot \delta \boldsymbol{\theta} \Big|_{\boldsymbol{\theta}=\boldsymbol{\theta}^0} + \boldsymbol{\epsilon}$$

$$\mathbf{Y} - \phi(\mathbf{x}, \boldsymbol{\theta}^0) = \mathbf{F} \cdot \delta \boldsymbol{\theta} + \boldsymbol{\epsilon},$$

dostáváme lineární regresní model měření magnetizace.

Základní pojmy

Definice

Normovanou informační maticí pro parametr θ nazveme matici

$$\mathbf{M}_\theta(\xi) = \sum_{x_i: \xi(x_i) > 0} \xi(x_i) \left(\frac{\partial \phi(x_i, \theta)}{\partial \theta} \right) \left(\frac{\partial \phi(x_i, \theta)}{\partial \theta} \right)^T \Bigg|_{\theta=\theta^0}; \quad \theta \in \Theta.$$

kde

$\xi(x_i)$... návrh, tj. pravděpodobnostní míra,
na množině experimentálních bodů \mathbf{x} .

Definice

Kritérium optimality je funkce $\Phi : \mathbf{M}_\theta(\xi) \mapsto \Phi[\mathbf{M}_\theta(\xi)] \in R$ taková, že jestliže je $\xi \prec \tau$, potom $\Phi[\mathbf{M}_\theta(\xi)] \leq \Phi[\mathbf{M}_\theta(\tau)]$.

Kritérium lokální D-optimality

Označíme-li $\hat{\theta}$ jako NLNO parametru θ , pak je snadné dokázat platnost vztahu:

$$\text{Var}(\hat{\theta}) = [\mathbf{M}_{\theta}(\xi)]^{-1}.$$

S cílem získat co nejpřesnější odhad vektorového parametru $\hat{\theta} \rightarrow$ volíme kriteriální funkci lokální D-optimality, jejíž základní vlastností je minimalizace objemu konfidenčního elipsoidu. Definováno jako

$$\Phi[\mathbf{M}_{\theta}(\xi)] = \det[\mathbf{M}_{\theta}(\xi)].$$

Protože uvažuje kritérium v jeho konkávní podobě, musí **lokálně D-optimální návrh** ξ^* splňovat podmínu:

$$\det(\mathbf{M}_{\theta}(\xi^*)) = \arg \max_{\xi \in \Xi} \det(\mathbf{M}_{\theta}(\xi)),$$

kde Ξ je množina všech návrhů.

Kritérium lokální D-optimality

Je snadné ověřit, že

$$\det(\mathbf{M}_{\theta_1, \theta_2, \theta_3}(\xi)) = \theta_1^4 \det(\mathbf{M}_{1, \theta_2, \theta_3}(\xi)),$$

pro jakékoliv $\theta = (\theta_1, \theta_2, \theta_3) \in \Theta$ a jakýkoliv návrh $\xi \in \Xi$.

Současně platí

$$\arg \max_{\xi \in \Xi} \det(\mathbf{M}_{\theta_1, \theta_2, \theta_3}(\xi)) = \arg \max_{\xi \in \Xi} \det(\mathbf{M}_{1, \theta_2, \theta_3}(\xi))$$

a proto **D-optimální návrh** nezávisí na hodnotě parametru $\theta_1 \in \Theta_1$, ale **závisí** pouze na hodnotách parametrů $\theta_2 \in \Theta_2$ a $\theta_3 \in \Theta_3$.



PROBLÉM !!!

Závislost lokálně D-optimálního návrhu měření na bodech linearizace (θ_2^0 a θ_3^0) uvažovaného nelineárního modelu.

Parametrické prostory

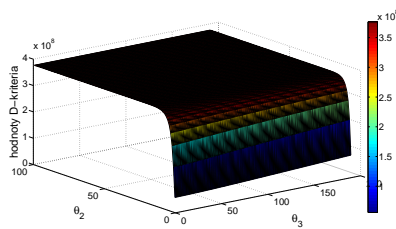
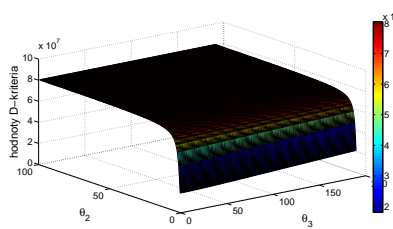
Vymezení přípustného parametrického prostoru

Langevinovy funkce:

$$\theta_2 = [1 \cdot 10^{-18} : 1 \cdot 10^{-18} : 1 \cdot 10^{-16}] \quad ; \quad \theta_3 = [1000 : 100 : 20000]$$

Brillouinovy funkce:

$$\theta_2 = [1 \cdot 10^{-19} : 1 \cdot 10^{-19} : 1 \cdot 10^{-17}] \quad ; \quad \theta_3 = [1000 : 100 : 20000]$$



Obr. 5: Hodnoty lokálně D-optimálních návrhů v bodech přípustných parametrických prostorů Langevinovy a Brillouinovy funkce.

D-eficiency

V konkrétním bodě parametrického prostoru je možné výkonnost libovolného návrhu ξ vzhledem k lokálně optimálnímu návrhu ξ^* vyjádřit pomocí jeho D-eficiency (*Pukelsheim F. (1993)*):

$$\text{eff}_{\boldsymbol{\theta}}(\xi) = \frac{\det(\mathbf{M}_{\boldsymbol{\theta}}(\xi))^{1/k}}{\det(\mathbf{M}_{\boldsymbol{\theta}}(\xi^*))^{1/k}},$$

kde k je počet neznámých parametrů modelu.

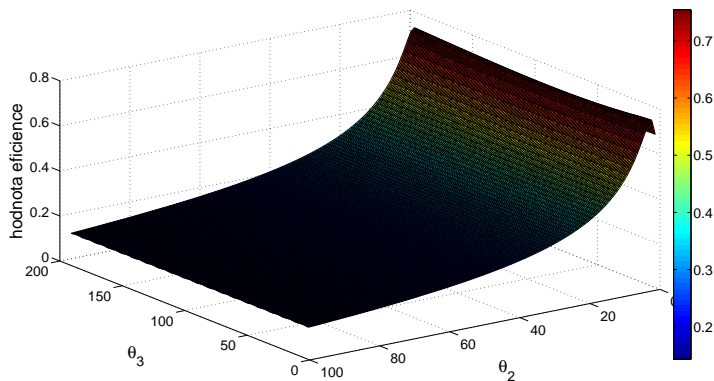
Tímto postupem můžeme například stanovit eficienci rovnoměrného návrhu (tj. měření magnetizace v každém bodě množiny experimentálních bodů) vzhledem k lokálně D-optimálnímu návrhu.



Popis současného stavu procesu měření magnetizace nejen $\epsilon - Fe_2O_3$. Tako prováděné měření je velice nákladné a to jak časově, tak finančně.

Eficience rovnoměrných návrhů měření Langevinovy funkce

Maximální hodnota eficiece je 75,4% avšak **minimální hodnota eficiece je 14,3%**.



Zavedení pojmu

Hledáním "ucházející" hodnoty efistence libovolně volených návrhů ξ v přípustných parametrických prostorech Langevinovy a Brillouinovy funkce jsme narazili na zvláštní fenomén.

Jedná se o **PRAVIDELNÝ** výskyt hodnoty minimální efistence na okrajích přípustného parametrického prostoru.

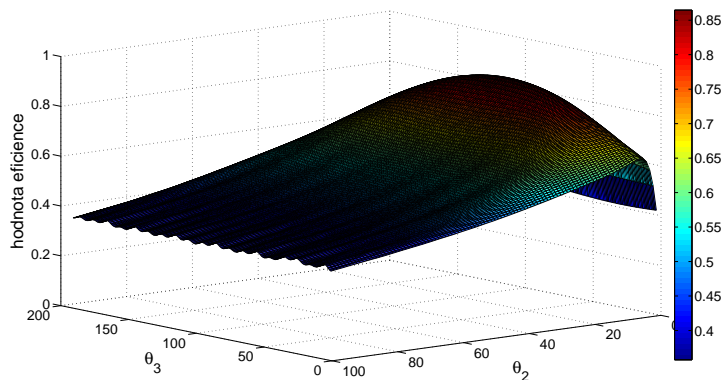
Z tohoto důvodu jsme přistoupili k možnosti nalezení **maximin eficientního návrhu**, který je definován vztahem (*Müller CH., Pázman A. (1998)*)

$$\xi_{ME}^* \in \arg \max_{\xi \in \Xi} \min_{\theta \in \Theta} \text{eff}_\theta(\xi).$$

Pomocí výpočetních algoritmů hill climbing a simulovaného žíhání jsme prohledávali okraje obou přípustných parametrických prostorů abychom tak našli návrhy, které jsou stabilní vzhledem k uvažovaným parametrickým prostorům a dosahují přijatelných hodnot minimální efistence.

Maximin eficientní návrh - Langevinova funkce

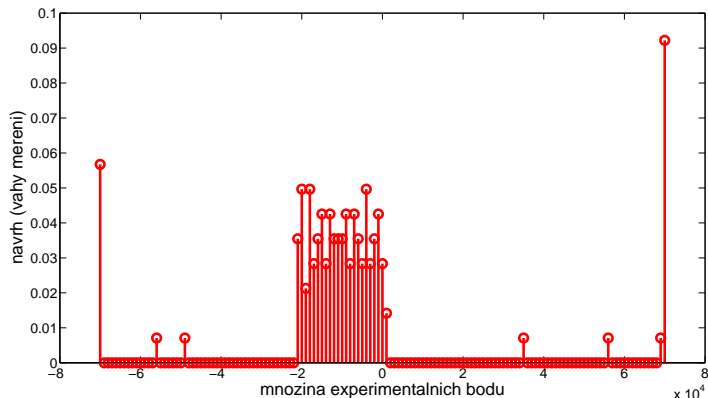
Doposud nejlepším dosaženým výsledkem je **minimální hodnota eficiece 35,80%**.



Obr.7: Maximin eficientní návrh měření Langevinovy funkce.

Maximin eficientní návrh - Langevinova funkce

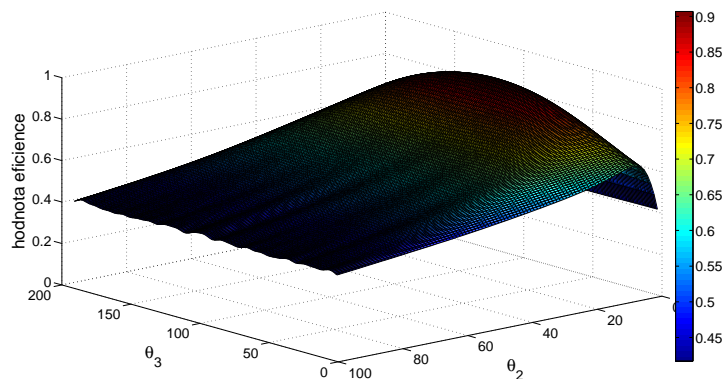
Pro dosažení zmíněné minimální hodnoty eficiece je nutné provědět měření v 30 optimálních bodech množiny \mathbf{x} .



Obr.8: Váhy v optimálních bodech měření Langevinovy funkce.

Maximin eficientní návrh - Brillouinova funkce

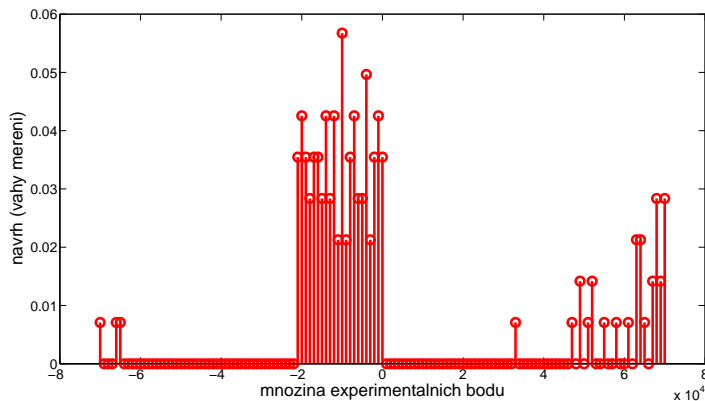
Doposud nejlepším dosaženým výsledkem je **minimální hodnota eficiece 41,70%**.



Obr.9: Maximin eficientní návrh měření Brillouinovy funkce.

Maximin eficientní návrh - Brillouinova funkce

Pro dosažení zmíněné minimální hodnoty efistence je nutné provědět měření v 40 optimálních bodech množiny \mathbf{x} .



Obr.10: Váhy v optimálních bodech měření Brillouinovy funkce.

Postup dalšího zpracování

Jedním z hlavních cílů analýzy je: "Navrhnut optimální návrh měření tak aby bylo možné jednoznačně rozhodnout, kterou funkci (Langevinovu nebo Brillouinovu) použít k aproximaci naměřených dat - naměřené magnetizace."

- S využitím T-kriteriální funkce nebo DT- kriteriální funkce chceme navrhnut vhodný plán měření, díky němuž bude možné toto rozhodnutí učinit.

Postup dalšího zpracování

Jedním z hlavních cílů analýzy je: "Navrhnut optimální návrh měření tak aby bylo možné jednoznačně rozhodnout, kterou funkci (Langevinovu nebo Brillouinovu) použít k aproximaci naměřených dat - naměřené magnetizace."

- S využitím T-kriteriální funkce nebo DT- kriteriální funkce chceme navrhnut vhodný plán měření, díky němuž bude možné toto rozhodnutí učinit.
- Atkinson A.C., Donev A.N. (1992): *Optimum Experimental Designs*. Oxford University Press.

Postup dalšího zpracování

Jedním z hlavních cílů analýzy je: "Navrhnut optimální návrh měření tak aby bylo možné jednoznačně rozhodnout, kterou funkci (Langevinovu nebo Brillouinovu) použít k aproximaci naměřených dat - naměřené magnetizace."

- S využitím T-kriteriální funkce nebo DT- kriteriální funkce chceme navrhnut vhodný plán měření, díky němuž bude možné toto rozhodnutí učinit.
- Atkinson A.C., Donev A.N. (1992): *Optimum Experimental Designs*. Oxford University Press.
- Atkinson A.C. (2008): *DT-optimum designs for model discrimination and parameter estimation*. Journal of Statistical Planning and Inference.

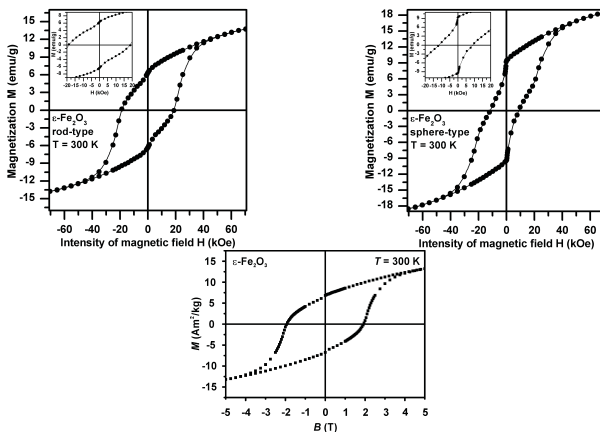
Postup dalšího zpracování

Jedním z hlavních cílů analýzy je: "Navrhnut optimální návrh měření tak aby bylo možné jednoznačně rozhodnout, kterou funkci (Langevinovu nebo Brillouinovu) použít k aproximaci naměřených dat - naměřené magnetizace."

- S využitím T-kriteriální funkce nebo DT- kriteriální funkce chceme navrhnut vhodný plán měření, díky němuž bude možné toto rozhodnutí učinit.
- Atkinson A.C., Donev A.N. (1992): *Optimum Experimental Designs*. Oxford University Press.
- Atkinson A.C. (2008): *DT-optimum designs for model discrimination and parameter estimation*. Journal of Statistical Planning and Inference.
- Jednou z možností je provádět měření horní větve smyčky dle T-optimálního návrhu a následně dle odpovídajícího modelu (Langevin x Brillouin) provádět měření dolní větve hysterézní smyčky dle D-optimálního návrhu.

Postup dalšího zpracování

Analýza "smíšené" fáze $\epsilon - Fe_2O_3$, kde se v neznámém množství vyskytuje fáze $\gamma - Fe_2O_3$, což vede ke vzniku nežádoucích zubů.



Obr.11: Nanomateriály smíšených fází.

Literatura

- ① Atkinson A.C., Donev A.N. (1992). *Optimum Experimental Designs*. Oxford University Press, Oxford.
- ② Darby M. (1967). *Tables of the Brillouin function and of the related function for the spontaneous magnetization*. British Journal of Applied Physics **18**, 1415 – 1417.
- ③ Müller CH., Pázman A. (1998). *Application of necessary and sufficient conditions for maximin efficient designs*. Metrika **48**, 1 – 19.
- ④ Pukelsheim F. (1993). *Optimal design of experiments*. Wiley and Sons, New York.

DĚKUJI VÁM
ZA VAŠI POZORNOST.

Pavel Tuček

pavel.tucek@upol.cz